

### Список літератури

1. Крисюк С.В. Післядипломна освіта педагогічних кадрів: реалії і перспективи. Освіта і управління. Т. 1. – К. 1997. – С. 85–93.
2. Сігаєва Л.Є. Підвищення кваліфікації фахівця як складова неперервної професійної освіти. Неперервна професійна освіта: проблеми, пошуки, перспективи: Монографія / За ред. І.А. Зязюна. – К.: Ві-пал, 2000. – 636 с.
3. Зязюн І.А. Неперервна освіта: Концептуальні засади і сучасні технології // Матеріали міжнар. наук. конф., 16–17 трав. 2000 р. – Х., 2000. – С. 9–15.
4. Чернилевський Д.В., Морозов А.В. Креативная педагогика и психология: Учеб. пособие для вузов. – М.: МГТА, 2001. – 301 с.
5. Шкурко І.І., Гадзецький Б.В. Система підвищення кваліфікації керівника освіти. Освіта і управління. Т. 1. – К., 1997. – С. 99–113.

Стаття надійшла до редакції 02.09.02.

0551.413 - 042.2 - 016.2

УДК 629.7.036.34

ГТД, Д-18Т, ТРДД, режими роботи перехідного А<sub>У</sub>  
компресор А<sub>У</sub>.  
М.С. Кулик, д-р техн. наук, проф.,  
В.В. Панін, канд. техн. наук, доц.,  
І.Ф. Кінащук, мол. наук. співроб.

## МЕТОД ВИЗНАЧЕННЯ ЗАПАСІВ СТІЙКОСТІ КАСКАДІВ КОМПРЕСОРА ДВИГУНА Д-18Т НА ПЕРЕХІДНИХ РЕЖИМАХ

Розглянуто метод визначення запасів стійкості каскадів компресора авіаційних тривальних газотурбінних двигунів на перехідних режимах роботи за даними об'єктивних засобів контролю. Наведено результати апробації цього методу на прикладі двигуна Д-18Т.

Забезпечення стійкої роботи газотурбінних двигунів (ГТД) у всьому діапазоні експлуатаційних режимів є важливою складовою високого рівня безпеки польотів. Для запобігання помпажу для кожного типу двигуна визначається певна величина запасу газодинамічної стійкості ГТД, яка в процесі експлуатації зменшується за рахунок багатьох факторів, серед яких найбільш впливовим є зміна геометрії проточної частини двигуна [1].

Зменшення запасу стійкості з напрацюванням за несприятливих умов польоту викликає помпаж. Найбільш небезпечними є перехідні режими роботи двигуна, на яких запас стійкості досягає мінімальних значень, що потребує розробки методів визначення запасів газодинамічної стійкості саме для цих режимів.

Для визначення запасів стійкості використовують експериментальні та розрахункові методи. Експериментальні методи застосовують на етапі доведення ГТД, а також під час спеціальних випробувань.

Існуючі розрахункові методи, як правило, призначенні для стаціонарних режимів і можуть бути реалізовані для двигунів підвищеної контролепридатності, але за теперішнього часу у світовій авіації використовуються, переважно, ГТД обмеженої контролепридатності.

В Україні зараз експлуатуються в основному два типи тривальних двоконтурних двигунів Д-36 та Д-18Т і вводиться в експлуатацію двигун Д-436 [2]. У цих двигунах обмеженої контролепридатності конструктивно передбачено вимірювання частот обертання роторів високого тиску та вентилятора, температури загальмованого потоку за турбіною середнього тиску  $T_{\text{тst}}$ , повних тисків на вході в двигун  $P_{\text{H}}^*$  за компресором  $P_{\text{k}}^*$ , а також тиску в підкапотному просторі  $P_{\text{баз}}^*$ , миттєвої витрати палива  $G_{\text{п}}$  і положення важеля керування двигуном  $\alpha_{\text{квд}}$ . На повітряному судні також реєструється температура зовнішнього повітря, висота та швидкість, що дозволяє визначити значення температури загальмованого потоку на вході в двигун  $T_{\text{B}}^*$ .

Саме для двигунів із зазначенним переліком вимірюваних параметрів авторами пропонується метод визначення газодинамічної стійкості на перехідних режимах. В основу методу покладено математичну модель, що описує умови сумісної роботи елементів ГТД на перехідних режимах роботи. Розглянемо реалізацію запропонованого методу для двигуна Д-18Т.

Рівняння лінії робочих режимів (лінії прийомистості) для компресора високого тиску (КВТ) описується рівнянням [1]

$$\frac{\pi_{\text{KB}}^*}{q(\lambda_{\text{KB}})} = 7.52 \sqrt{\frac{\pi_{\text{KB}}^{*0.286} - 1}{\eta_{\text{KB}}^*} + 3.16 \omega_{\text{BT}} \left( \frac{d\omega_{\text{BT}}}{dt} \right) \frac{1}{P_{\text{KH}}^* q(\lambda_{\text{KB}}) \sqrt{T_{\text{KH}}^*}}}, \quad (1)$$

де  $\pi_{\text{KB}}^*$  – ступінь підвищення тиску в КВТ;  $q(\lambda_{\text{KB}})$  – функція густини струму;  $\eta_{\text{KB}}^*$  – ККД КВТ;  $\omega_{\text{BT}}$  – кутова швидкість ротора високого тиску;  $\frac{d\omega_{\text{BT}}}{dt}$  – прискорення ротора ВТ;  $P_{\text{KH}}^*$ ,  $T_{\text{KH}}^*$  – відповідно повний тиск та температура загальмованого потоку на вході в КВТ.

Повний тиск  $P_{\text{KH}}^*$  у рівнянні (1) визначається через вимірювані параметри:

$$P_{\text{KH}}^* = \frac{P_{\text{BT}\delta} + P_{\text{баз}}}{\pi_{\text{KB}}^*}, \quad (2)$$

де  $P_{\text{BT}\delta}$  – тиск повітря за КВТ;  $P_{\text{баз}}$  – тиск повітря у підкапотному просторі.

Температура  $T_{\text{KH}}^*$  також може бути визначена через параметри, що реєструються в експлуатації:

$$T_{\text{KH}}^* = \frac{T_{\text{B}}^* \pi_{\text{K}\Sigma}^{\frac{n-1}{n}}}{\pi_{\text{KB}}^{\frac{n-1}{n}}}, \quad (3)$$

де  $T_{\text{B}}^*$  – температура загальмованого потоку на вході в двигун;  $\pi_{\text{K}\Sigma}^*$  – сумарний ступінь підвищення тиску в компресорі;  $n$  – осереднений показник політропи стискування.

Рівняння (1) з урахуванням рівнянь (2) і (3) може бути записано у вигляді

$$q(\lambda_{\text{KB}}) = f(\pi_{\text{KB}}^*, \eta_{\text{KB}}^*). \quad (4)$$

У рівнянні (4) дві незалежні змінні  $\pi_{\text{KB}}^*$  і  $\eta_{\text{KB}}^*$ , тому побудування лінії робочих режимів (ЛРР) слід виконувати методом спроб, який наведений у роботі [1].

Після побудови лінії прийомистості на характеристиці КВТ (рис.1, а) переходят до побудови ЛРР на характеристиці компресора середнього тиску (КСТ) (рис.1, б). Для цього використовують такі рівняння:

– рівняння, що описує умови сумісної роботи КСТ та КВТ:

$$q(\lambda_{\text{KB}}) = 3.89 q(\lambda_{\text{KH}}) \frac{1}{\pi_{\text{KH}}^*}, \quad (5)$$

– рівняння балансу потужностей КСТ і турбіни середнього тиску (ТСТ):

$$0.89(1+g_n)c_{\text{PT}} T_{\text{TH}}^* l_{\text{TH}} - c_{\text{PB}} T_{\text{KH}}^* l_{\text{KH}} = 1511.7 \omega_{\text{HT}} \frac{d\omega_{\text{HT}}}{dt} \frac{\sqrt{T_{\text{KH}}^*}}{P_{\text{KH}}^* q(\lambda_{\text{KH}})}, \quad (6)$$

де  $g_n$  – відносна витрата палива;  $c_{\text{PT}}$ ,  $c_{\text{PB}}$  – відповідно середні теплоємності газу та повітря;  $l_{\text{KH}}$  – безрозмірна робота компресора низького тиску;  $\omega_{\text{HT}}$  – кутова швидкість ротора низького тиску.

Спільне розв'язання рівняння (6) та рівняння балансу витрати робочого тіла через перерізи на вході в КВТ і на виході із соплового апарату першого ступеня ТСТ дозволяє отримати

$$\frac{\pi_{\text{KH}}^* \pi_{\text{KB}}^*}{q(\lambda_{\text{KH}})} = 11,96 \sqrt{0,4 \frac{\omega_{\text{HT}} d\omega_{\text{HT}}}{dt} \frac{1}{P_{\text{KH}}^* q(\lambda_{\text{KH}}) \sqrt{T_{\text{KH}}^*}}} + 6,624 l_{\text{KH}}. \quad (7)$$

Величину  $\omega_{\text{HT}} \frac{d\omega_{\text{HT}}}{dt}$  у рівняннях (6) та (7) знаходить, використовуючи зв'язок між прискоренням частоти обертання ротора середнього тиску та надлишковою витратою палива  $\Delta G_{\text{p}}$  [3]. Для двигуна Д-18Т цей зв'язок описується рівнянням

$$\omega_{\text{HT}} \frac{d\omega_{\text{HT}}}{dt} = 1,2126 \cdot 10^5 \Delta G_{\text{p}}. \quad (8)$$

Величина  $\Delta G_{\text{p}}$  являє собою приріст витрати палива, що подається в камеру згоряння в процесі прийомистості, відносно до потрібної витрати для підтримки стаціонарного режиму на даній частоті обертання ротора високого тиску. Для визначення  $\Delta G_{\text{p}}$  використовують дросельну характеристику двигуна (рис. 2), на яку нанесена лінія прийомистості.

Далі побудову ЛРР на характеристиці КСТ здійснюють у такій послідовності. Задаються декількома значеннями величин  $q(\lambda_{\text{KB}})$  вздовж лінії прийомистості на характеристиці КВТ і на напірних лініях характеристики КСТ (рис. 1, б) знаходить точки, що задовольняють рівняння (5). Тобто на полі характеристики КСТ одержують лінії  $q(\lambda_{\text{KB}}) = \text{const}$ . На рис. 1, б наведені лінії  $q(\lambda_{\text{KB}}) = 0,593$ ,  $q(\lambda_{\text{KB}}) = 0,606$  та  $q(\lambda_{\text{KB}}) = 0,619$ .

Спільне розв'язання рівнянь (5) та (6) з урахуванням рівняння (8) для прийнятих значень  $q(\lambda_{\text{KB}}) = \text{const}$  дозволяє визначити координати точок, що належать лінії прийомистості на характеристиці КСТ (рис. 3).

Знайдені в такий спосіб координати точок  $\pi_{\text{KH},i}^*$ ,  $q(\lambda_{\text{KH},i})$  належать лінії прийомистості на характеристиці КСТ (рис. 1, б). Після знаходження координат робочих точок на характеристиці КСТ здійснювалася перевірка виконання рівності (7) для прийнятих значень  $q(\lambda_{\text{KB}})$ .

Для знаходження положення лінії прийомистості на характеристиці вентилятора зовнішнього контуру скористаємося умовою балансу потужностей вентилятора та турбіни вентилятора:

$$G_{\Gamma} T_{\text{TCT}}^* c_{\text{PT}} l_{\text{TB}} \eta_{\text{M}} - G_{\text{BI}} c_{\text{P}} T_{\text{TCT}}^* (l_{\text{VLI}} - m l_{\text{VLP}}) = 281,43 \omega \frac{d\omega_{\text{BL}}}{dt}. \quad (9)$$

Витрата газу розраховувалася за формулою

$$G_{\Gamma} = \frac{m_{\Gamma} P_{\text{K}}^* \sigma_{\text{KC}} \sigma_{\text{CA}} F_{\text{CA}}}{\sqrt{\frac{T_{\text{TCT}}^*}{(1 - l_{\text{TB}}) l_{\text{TH}}}}}. \quad (10)$$

Для двигуна Д-18Т для інтервалу частот обертання роторів, у межах якого здійснювалася прийомистость, рівняння (10) буде мати вигляд

$$G_{\Gamma} = \frac{5,18 \cdot 10^{-4} P_{\text{K}}^*}{\sqrt{T_{\text{TCT}}^*}}.$$

Витрату повітря через внутрішній контур розраховували за формулою

$$G_{\text{BI}} = \frac{G_{\Gamma} - G_{\text{p}}}{(1 - g_{\text{VLD}} - g_{\text{OHL}})}. \quad (11)$$

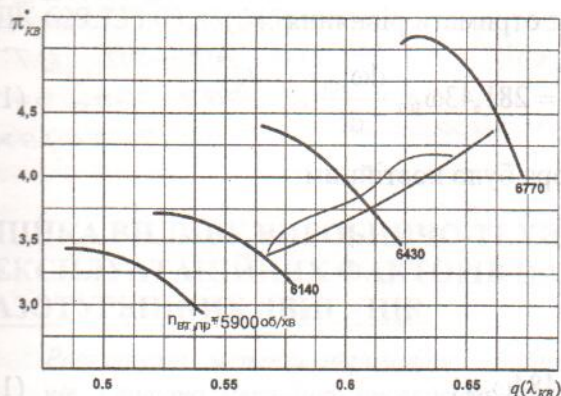
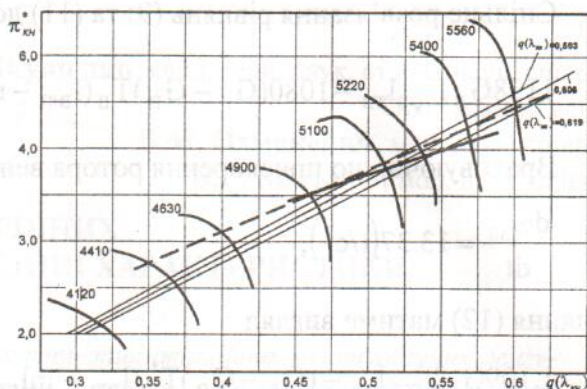
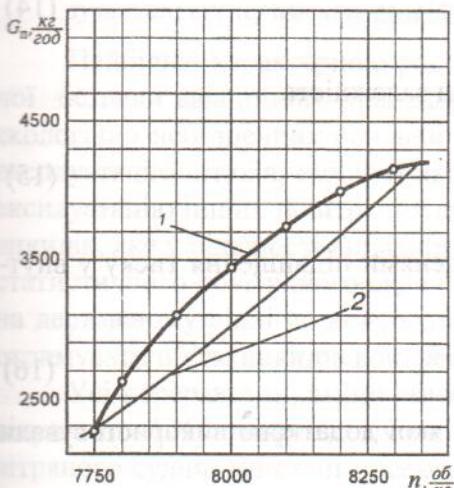
*a**b*Рис. 1. Характеристики компресорів високого (*a*) та низького (*b*) тисків

Рис. 2. Залежність надлишкової витрати палива від частоти обертання ротора високого тиску:

1 – лінія прийомистості; 2 – дросельна характеристика

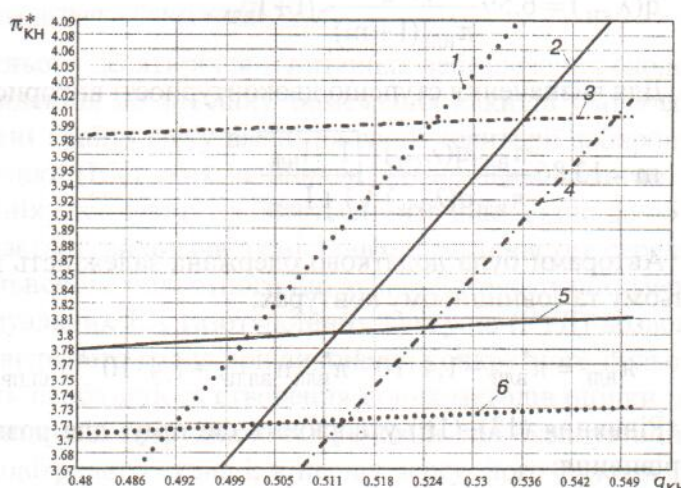


Рис. 3. Графічне розв'язання системи рівнянь:

- 1 –  $\pi_{KH}^* = f_1(q_{KH})$ ;
- 2 –  $\pi_{KH}^* = f_2(q_{KH})$ ;
- 3 –  $\pi_{KH}^* = f_1(\Delta G_n)$ ;
- 4 –  $\pi_{KH}^* = f_3(q_{KH})$ ;
- 5 –  $\pi_{KH}^* = f_2(\Delta G_n)$ ;
- 6 –  $\pi_{KH}^* = f_3(\Delta G_n)$

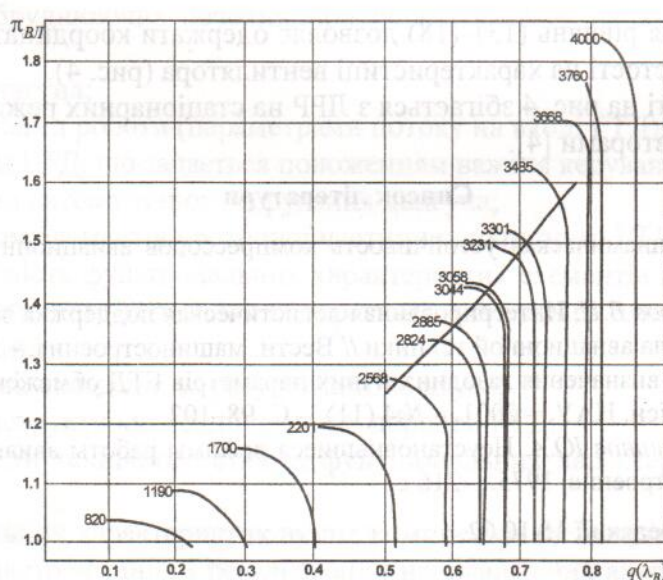
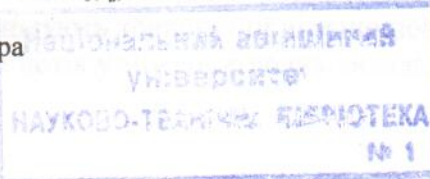


Рис. 4. Характеристика вентилятора



Спільне розв'язання рівнянь (9) та (11) дозволяє отримати рівняння

$$1198G_{\Gamma}T_{\text{TCT}}^*l_{\text{TB}} - 1080(G_{\Gamma} - G_{\Pi})T_{\text{B}}^*(l_{\text{вл}} - ml_{\text{вл}}) = 281,43\omega_{\text{вл}} \frac{d\omega_{\text{вл}}}{dt}. \quad (12)$$

Враховуючи, що прискорення ротора вентилятора було постійним:

$$\frac{d\omega_{\text{вл}}}{dt} = 13.37(1/c^2),$$

рівняння (12) матиме вигляд

$$1.109G_{\Gamma}T_{\text{TCT}}^*l_{\text{TB}} - (G_{\Gamma} - G_{\Pi})T_{\text{B}}^*(l_{\text{вл}} - ml_{\text{вл}}) = 3,484\omega_{\text{вл}}. \quad (13)$$

Умова балансу витрат через вентилятор та КНТ записується так:

$$q(\lambda_{\text{КН}}) = 6.59 \frac{q(\lambda_{\text{B}})}{\pi_{\text{вл}}^*(1+m)} \sqrt{1+l_{\text{вл}}}. \quad (14)$$

Для визначення ступеню двоконтурності використовували залежність

$$m = 13,86 \frac{\pi_{\text{вл}}^* q(\lambda_{\text{СП}})}{\pi_{\text{вл}}^* q(\lambda_{\text{КН}})} \sqrt{\frac{1+l_{\text{вл}}}{1+l_{\text{вл}}}}. \quad (15)$$

Авторами була додатково одержана залежність між ступенями підвищення тиску у внутрішньому та зовнішньому контурах:

$$\pi_{\text{вл}}^* = \pi_{\text{вл}}^* - 1,4 \cdot 10^{-4} \pi_{\text{вл}}^* n_{\text{вл},\text{ПР}} + 1,4 \cdot 10^{-4} n_{\text{вл},\text{ПР}}. \quad (16)$$

Рівняння (13)–(16) утворюють систему, для розв'язання якої додатково використовували такі рівняння:

$$q(\lambda_{\text{СП}}) = 3,86392 \sqrt{[\pi(\lambda_{\text{СП}})]^{1,4285} - [\pi(\lambda_{\text{СП}})]^{1,7143}}. \quad (17)$$

$$\pi(\lambda_{\text{СП}}) = \frac{1}{\pi_{\text{вл}}^* \sigma_{\text{вх}} \sigma_{\text{П}}} = \frac{1}{0,967 \pi_{\text{вл}}^*}. \quad (18)$$

Спільне розв'язання рівнянь (13)–(18) дозволяє одержати координати робочих точок і побудувати лінію прийомистості на характеристиці вентилятора (рис. 4).

Лінія прийомистості на рис. 4 збігається з ЛРР на стаціонарних режимах. Такі самі результати отримано іншими авторами [4].

#### Список літератури

1. Панин В.В. Газодинамическая устойчивость компрессоров авиационных ГТД. – К.: КМУГА, 1998. – 152 с.
2. Батурина А.Г., Суров В.И. Интегрированная логистическая поддержка эксплуатации – стратегия реализации жизненного цикла авиационной техники // Вестн. машиностроения. – 2000. – №8. – С. 49–54.
3. Панин В.В. Метод визначення газодинамічних параметрів ГТД обмеженої контролепридатності на переходних режимах // Вісн. НАУ. – 2001. – №4 (11). – С. 98–102.
4. Сосунов В.А., Литвинов Ю.А. Неустановившиеся режимы работы авиационных газотурбинных двигателей. – М.: Машиностроение, 1975. – 216 с.

Стаття надійшла до редакції 15.10.02.